arXiv:1201.1269v1 [math-ph] 5 Jan 2012

The Kramers Problem for Quantum Fermi Gases with Velocity - Dependent Collision Frequency and Specular - Diffusive Boundary Conditions

A. Yu. Kvashnin[1], **A. V. Latyshev**[2] **and A. A. Yushkanov**[3]

Faculty of Physics and Mathematics,
Moscow State Regional University, 105005,
Moscow, Radio str., 10–A

The classical Kramers problem of the kinetic theory is solved. The Kramers problem about isothermal sliding for quantum Fermi gases is considered. Quantum gases with the velocity - dependent collision frequency are considered. Specular - diffusive boundary conditions are applied. Dependence of isothermal sliding on the resulted chemical potential is found out.

Key words: statement of problem, collisional rarefied gas, characteristic equation, Fredholm equation.

PACS numbers: 05.20.Dd Kinetic theory, 47.45.-n Rarefied gas dynamics, 02.30.Rz Integral equations.

Содержание

Введение **2**

1 Формулировка граничных условий и постановка задачи **3**

2 Неоднородное кинетическое уравнение **7**

3 Характеристическая система и интегральное уравнение Фредгольма **10**

---

[1] $malin_85@mail.ru$

[2] $avlatyshev@mail.ru$

[3] $yushkanov@inbox.ru$

4 Решение задачи 13

4.1 Нулевое приближение 13

4.2 Первое приближение 15

4.3 Второе приближение 16

4.4 Высшие приближения 17

5 Сравнение с точным решением и профиль массовой скорости 17

5.1 Сравнение с точным решением 17

5.2 Профиль скорости газа в полупространстве и ее значение у стенки 19

Список литературы 22

Введение

В первой половине прошлого столения Юлинг и Уленбек [1] обобщили кинетическое уравнение Больцмана на случай квантовых газов.

Поведение квантовых газов представляет значительный интерес и в настоящее время [2] и [3].

Первые аналитические решения граничных задач для модельных кинетических уравнений для квантовых газов с постоянной частотой столкновений были получены в работах [4]–[7].

Аналитические решения граничных задач для квантовых газов с переменной частотой столкновений получены в работах [8]–[16].

Вопросы скольжения одноатомных классических газов вдоль плоской твердой поверхности изложены в монографиях [17]–[20].

Укажем на другие работы по скольжению классических газов вдоль плоской твердой поверхности [21]–[33].

Начало аналитическим методам в кинетической теории было положено работой К. Черчиньяни [34]. В его работах (и вместе с соавторами) [35]–[38] были заложены идеи формулировки и решения граничных задач и с новыми (более адекватными) граничными условиями и с частотой столкновений, зависящей от модуля скорости молекул.

Следует отметить еще ряд работ, посвященных аналитическому решению граничных задач кинетической теории [39]–[41], а также численному и приближенному решению таких задач [42]–[44].

Настоящая работа является продолжением нашей предыдущей работы [16], где была рассмотрена классическая задача кинетической теории – задача Крамерса об изотермическом скольжении для квантовых ферми–газов с переменной частотой столкновений и с полностью диффузными граничными условиями.

В настоящей работе эта задача решается с более общими зеркально – диффузными граничными условиями. При этом применяется метод, изложенный в ряде наших работ (см., например, [45]–[47]). Показано, что применяемый метод обладает высокой эффективностью. Так, уже второе приближение дает ошибку, менее 0.01%.

1 Формулировка граничных условий и постановка задачи

В качестве кинетического уравнения будем использовать линейное уравнение (5.11) из [16]

$$\mu\frac{\partial h}{\partial x_1}+h(x_1,\mu)=\frac{3}{4}\int\limits_{-1}^{1}(1-{\mu'}^2)h(x_1,\mu')d\mu'. \tag{1.1}$$

Уравнение (1.1) выведено из нелинейного кинетического уравнения для квантовых ферми–газов, которое в условиях задачи Крамерса может быть записано в виде:

$$v_x\frac{\partial f}{\partial x}=\nu(\mathbf{v})[f_F^*(x,\mathbf{v},t)-f(x,\mathbf{v},t)]. \tag{1.2}$$

При этом функция распределения $f(x,\mathbf{v},t)$ связана с функцией $h(x_1,\mu)$ равенством:

$$f(x,\mathbf{v},t)=f_F(v)+g(v)C_yh(x_1,\mu),$$

где

$$g(v)=\frac{\exp(\beta v^2-\mu/kT)}{\big(1+\exp(\beta v^2-\mu/kT)\big)^2},\quad \beta=\frac{m}{2kT},\quad \mathbf{C}=\sqrt{\beta}\mathbf{v},$$

$$f_F(v)=\frac{1}{1+\exp\big(\beta v^2-\mu/kT\big)},\quad \mu=\frac{C_x}{C},$$

$x_1=x/(\nu_0\sqrt{\beta})$ – безразмерная координата, $\nu_0=1/\tau$, τ – время между двумя последовательными столкновениями ферми–частиц газа, $l=\tau v_T$ – средняя длина свободного пробега ферми–частиц, $v_T=1/\sqrt{\beta}$ – тепловая скорость ферми–частиц, $\nu(\mathbf{v})=v/l$.

Сформулируем зеркально – диффузные граничные условия для функции распределения:

$$f(+0,\mathbf{v})=qf_F(v)+(1-q)f(+0,-v_x,v_y,v_z),\quad v_x>0,$$

где q – коэффициент диффузности, $0\leqslant q\leqslant 1$, $f_F(v)$ – абсолютный фермиан.

Параметр q – часть молекул, рассеивающихся границей диффузно, т.е. уходящие от стенки молекулы имеют максвелловское распределение по скоростям, $1-q$ – часть молекул, рассеивающихся зеркально.

Продолжим функцию распределения на сопряженное полупространство симметричным образом:

$$f(x,\mathbf{v})=f(-x,-v_x,v_y,v_z). \tag{1.3}$$

Продолжение на полупространство $x<0$ позволяет включить граничные условия в уравнения задачи.

Такое продолжение функции распределения позволяет фактически рассматривать две задачи, одна из которых определена в "положительном" полупространстве $x>0$, вторая – в отрицательном "полупространстве" $x<0$.

Сформулируем зеркально – диффузные граничные условия для функции распределения соответственно для "положительного" и для "отрицательного" полупространств:

$$f(+0,\mathbf{v})=qf_F(v)+(1-q)f(+0,-v_x,v_y,v_z), \quad v_x>0, \tag{1.4}$$

$$f(-0,\mathbf{v})=qf_F(v)+(1-q)f(-0,-v_x,v_y,v_z).v_x<0. \tag{1.5}$$

Далее безразмерную координату x_1 снова будем обозначать через x. Тогда для функции $h(x,\mu)$ вместо (1.3) мы имеем:

$$h(x,\mu)=h(-x,-\mu), \qquad \mu>0.$$

Граничные условия (1.4) и (1.5) преобразуются следующим образом:

$$h(+0,\mu)=(1-q)h(+0,-\mu), \quad 0<\mu<1, \tag{1.6}$$

$$h(x,\mu)=h_{as}(x,\mu)+o(1), \quad x\to\infty, \tag{1.7}$$

где

$$h_{as}=2U_{sl}+2G_v(x-\mu),$$

$U_{sl}=\sqrt{\beta}u_{sl}$ - искомая скорость изотермического скольжения (безразмерная).

Правая часть уравнения (1.1) есть удвоенная массовая скорость классического одноатомного газа [18]:

$$U(x)=\frac{3}{8}\int\limits_{-1}^{1}(1-\mu'^2)h(x,\mu')d\mu'. \tag{1.8}$$

Требуется найти скорость скольжения газа u_{sl} и построить функцию $h(x,\mu)$. Для решения этой задачи развивается новый эффективный метод решения граничных задач с зеркально – диффузными граничными условиями.

В основе предлагаемого метода лежит идея включить граничное условие на функцию распределения в виде источника в кинетическое уравнение.

Суть предлагаемого метода состоит в следующем. Сначала формулируется в полупространстве $x > 0$ классическая задача Крамерса об изотермическом скольжении с зеркально – диффузными граничными условиями. Затем функция распределения продолжается в сопряженное полупространство $x < 0$ четным образом по пространственной и по скоростной переменным. В полупространстве $x < 0$ также формулируется задача Крамерса.

После того как получено линеаризованное кинетическое уравнение разобьем искомую функцию (которую также будем называть функцией распределения) на два слагаемых: чепмен — энскоговскую функцию распределения $h_{as}(x, \mu)$ и вторую часть функции распределения $h_c(x, \mu)$, отвечающей непрерывному спектру:

$$h(x, \mu) = h_{as}(x, \mu) + h_c(x, \mu),$$

$(as \equiv asymptotic, c \equiv continuous)$.

В силу того, что чепмен – энскоговская функция распределения есть линейная комбинация дискретных решений исходного уравнения, функция $h_c(x, \mu)$ также является решением кинетического уравнения. Функция $h_c(x, \mu)$ обращается в нуль вдали от стенки. На стенке эта функция удовлетворяет зеркально – диффузному граничному условию.

Далее преобразуем кинетическое уравнение для функции $h_c(x, \mu)$, включив в это уравнение в виде члена типа источника, лежащего в плоскости $x = 0$, граничное условие на стенке для функции $h_c(x, \mu)$. Подчеркнем, что функция $h_c(x, \mu)$ удовлетворяет полученному кинетическому уравнению в обеих сопряженных полупространствах $x < 0$ и $x > 0$.

Это кинетическое уравнение мы решаем во втором и четвертом квадрантах фазовой плоскости (x, μ) как линейное дифференциальное уравнение первого порядка, считая известным функцию $U_c(x)$. Из полученных решений находим граничные значения неизвестной функции $h^{\pm}(x, \mu)$ при $x = \pm 0$, входящие в кинетическое уравнение.

Теперь мы разлагаем в интегралы Фурье неизвестную функцию

$h_c(x,\mu)$, неизвестную функцию $U_c(x)$ и дельта – функцию Дирака. Граничные значения неизвестной функции $h_c^{\pm}(0,\mu)$ при этом выражаются одним и тем же интегралом на спектральную плотность $E(k)$ функции $U_c(x)$.

Подстановка интегралов Фурье в кинетическое уравнение и выражение функции $U_c(x)$ приводит к характеристической системе уравнений. Если исключить из этой системы спектральную плотность $\Phi(k,\mu)$ функции $h_c(x,\mu)$, мы получим интегральное уравнение Фредгольма второго рода.

Считая градиент функции $U_c(x)$ заданным, разложим неизвестную скорость скольжения, а также спектральные плотности функции $U_c(x)$ и функции распределения в ряды по степеням коэффициента диффузности q (это ряды Неймана). На этом пути мы получаем счетную систему зацепленных уравнений на коэффициенты рядов для спектральных плотностей. При этом все уравнения на коэффициенты спектральной плотности для функции $U_c(x)$ имеют особенность (полюс второго порядка в нуле). Исключая эти особенности последовательно, мы построим все члены ряда для скорости скольжения, а также ряды для спектральных плотностей функции $U_c(x)$ и функции распределения.

2 Неоднородное кинетическое уравнение

В этом п. мы преобразуем кинетическое уравнение для функции $h_c(x,\mu)$, включив в это уравнение в виде члена типа источника, лежащего в плоскости $x=0$, граничное условие на стенке для функции $h_c(x,\mu)$. Функция $h_c(x,\mu)$ удовлетворяет полученному кинетическому уравнению в обеих сопряженных полупространствах $x<0$ и $x>0$. Заметим, что функция $h_{as}(x,\mu)$ является решением уравнения (1.1). Поэтому новая неизвестная функция $h_c(x,\mu)=h(x,\mu)-h_{as}(x,\mu)$ удовлетворяет также уравнению (1.1).

Так как вдали от стенки ($x\to\infty$) функция распределения $h(x,\mu)$

переходит в чепмен — энскоговскую $h_{as}(x,\mu)$, то для функции $h_c(x,\mu)$, отвечающей непрерывному спектру, получаем следующее граничное условие: $h_c(\pm\infty,\mu)=0$. Отсюда для функции $U_c(x)$ получаем:

$$U_c(\pm\infty)=0.$$

Граничные условия переходят в следующие:

$$h_c(+0,\mu)=-h_{as}^+(+0,\mu)+$$

$$+(1-q)h_{as}^+(+0,-\mu)+(1-q)h_c(+0,-\mu),\quad \mu>0,$$

$$h_c(-0,\mu)=-h_{as}^-(-0,\mu)+$$

$$+(1-q)h_{as}^-(-0,-\mu)(1-q)h_c(-0,-\mu),\quad \mu<0.$$

Перепишем эти условия в виде:

$$h_c(+0,\mu)=h_0^+(\mu)+(1-q)h_c(+0,-\mu),\quad \mu>0,$$

$$h_c(-0,\mu)=h_0^-(\mu)+(1-q)h_c(-0,-\mu),\quad \mu<0,$$

где

$$h_0^{\pm}(\mu)=-h_{as}^{\pm}(0,\mu)+(1-q)h_{as}^{\pm}(0,-\mu)=$$

$$=-2qU_{sl}(q)+(2-q)2G_v|\mu|.$$

Учитывая симметричное продолжение функции распределения, имеем

$$h_c(-0,-\mu)=h_c(+0,+\mu),\qquad h_c(+0,-\mu)=h_c(-0,+\mu).$$

Следовательно, граничные условия перепишутся в виде:

$$h_c(+0,\mu)=h_0^+(\mu)+(1-q)h_c(-0,\mu),\quad \mu>0, \tag{2.1}$$

$$h_c(-0,\mu)=h_0^-(\mu)+(1-q)h_c(+0,\mu),\quad \mu<0. \tag{2.2}$$

Граничные условия обеих задач можно объединить следующим образом:

$$h_c(\pm0,\mu)=h_0^{\pm}(\mu)+(1-q)h_c(\mp0,\mu),\quad \pm\mu>0\quad(|\mu|<1), \tag{2.3}$$

$$h_c(\pm\infty,\mu)=0,\qquad \pm\mu<0\quad(|\mu|<1). \tag{2.4}$$

Здесь

$$h_0^{\pm}(\mu) = -2qU_{sl} + 2(2-q)G_v^{\pm}\mu,$$

причем

$$G_v^- = -G_v^+.$$

Возьмем уравнение, содержащее оба граничные условия (2.3):

$$\mu\frac{\partial h_c}{\partial x} + h_c(x,\mu) =$$

$$= 2U_c(x) + |\mu|[h_0^{\pm}(\mu) - qh_c(\mp 0,\mu)]\delta(x), \tag{2.5}$$

где $\delta(x)$ – дельта–функция Дирака, $U_c(x)$ – часть массовой скорости классического газа, отвечающая непрерывному спектру,

$$2U_c(x) = \frac{3}{4}\int\limits_{-1}^{1}(1-\mu'^2)h_c(x,\mu')d\mu'. \tag{2.6}$$

Проверим, что граничные условия включены в уравнение (2.5). Пусть, например, $\mu \in (0,1)$. Проинтегрируем обе части уравнения (2.5) по x от $-\varepsilon$ до $+\varepsilon$. Получаем, что

$$h_c(+\varepsilon,\mu) - h_c(-\varepsilon,\mu) = h_0^+(\mu) - qh_c(-0,\mu).$$

Переходя к пределу при $\varepsilon \to 0$ в этом выражении, получаем в точности условие (2.3).

На основании определения массовой скорости (2.6) заключаем, что для неё выполняется условие $U_c(\pm\infty)=0$. Следовательно, в полупространстве $x > 0$ профиль массовой скорости газа вычисляется по формуле:

$$U(x) = U_{as}(x) + \frac{3}{8}\int\limits_{-1}^{1}(1-\mu'^2)h_c(x,\mu')d\mu',$$

где

$$U_{as}(x) = U_{sl}(q) + g_v x,$$

а вдали от стенки имеет следующее линейное распределение:

$$U(x) = U_{as}(x), \qquad x \to +\infty.$$

3 Характеристическая система и интегральное уравнение Фредгольма

Решая уравнение (2.5) при $x>0, \mu<0$, считая известной массовую скорость $U_c(x)$, получаем, удовлетворяя граничным условиям (2.3) и (2.4), следующее решение:

$$h_c^+(x,\mu)=-\frac{\exp(-x/\mu)}{\mu}\int\limits_x^{+\infty}\exp(t/\mu)2U_c(t)dt. \tag{3.1}$$

Аналогично при $x<0, \mu>0$ находим:

$$h_c^-(x,\mu)=\frac{\exp(-x/\mu)}{\mu}\int\limits_{-\infty}^{x}\exp(t/\mu)2U_c(t)dt. \tag{3.2}$$

Теперь уравнения (2.5) можно переписать, заменив второй член в квадратной скобке из (2.5) согласно (3.1) и (3.2), в виде:

$$\mu\frac{\partial h_c}{\partial x}+h_c(x,\mu)=$$

$$=2U_c(x)+|\mu|[h_0^\pm(\mu)-qh_c^\pm(0,\mu)]\delta(x). \tag{3.3}$$

В равенстве (3.3) граничные значения $h_c^\pm(0,\mu)$ выражаются через составляющую массовой скорости, отвечающей непрерывному спектру:

$$h_c^\pm(0,\mu)=-\frac{1}{\mu}e^{-x/\mu}\int\limits_0^{\pm\infty}e^{t/\mu}2U_c(t)dt.$$

Решение уравнения (2.5) и (2.6) ищем в виде интегралов Фурье:

$$2U_c(x)=\frac{1}{2\pi}\int\limits_{-\infty}^{\infty}\exp(ikx)E(k)dk,\quad \delta(x)=\frac{1}{2\pi}\int\limits_{-\infty}^{\infty}\exp(ikx)dk, \tag{3.4}$$

и

$$h_c(x,\mu)=\frac{1}{2\pi}\int\limits_{-\infty}^{\infty}\exp(ikx)\Phi(k,\mu)dk. \tag{3.5}$$

При этом функция $h_c^+(x,\mu)$ выражается через спектральную плотность $E(k)$ массовой скорости следующим образом:

$$h_c^+(x,\mu) = -\frac{\exp(-x/\mu)}{2\pi\mu}\int\limits_x^\infty \exp(t/\mu)dt\int\limits_{-\infty}^\infty \exp(ikt)E(k)dk =$$

$$= \frac{1}{2\pi}\int\limits_{-\infty}^\infty \frac{\exp(ikx)E(k)dk}{1+ik\mu}.$$

Аналогично,

$$h_c^-(x,\mu) = \frac{1}{2\pi}\int\limits_{-\infty}^\infty \frac{\exp(ikx)E(k)dk}{1+ik\mu}.$$

Таким образом, последние два равенства можно объединить в одно:

$$h_c(x,\mu) = \frac{1}{2\pi}\int\limits_{-\infty}^\infty \frac{\exp(ikx)E(k)dk}{1+ik\mu}.$$

Используя четность $E(k)$ можно записать:

$$h_c^\pm(0,\mu) = \frac{1}{2\pi}\int\limits_{-\infty}^\infty \frac{E(k)dk}{1+k^2\mu^2} = \frac{1}{\pi}\int\limits_0^\infty \frac{E(k)dk}{1+k^2\mu^2}.$$

Подставляя последнее равенство вместе с интегралами Фурье (3.4) и (3.5) в уравнения (2.9) и (2.6), приходим к характеристической системе:

$$E(k) = \frac{3}{4}\int\limits_{-1}^1 (1-\mu^2)\Phi(k,\mu)d\mu, \tag{3.6}$$

$$(1+ik\mu)\Phi(k,\mu) =$$

$$= E(k) - 2qU_{sl}|\mu| + 2(2-q)G_v\mu^2 - \frac{q|\mu|}{\pi}\int\limits_0^\infty \frac{E(k_1)dk_1}{1+k_1^2\mu^2}. \tag{3.7}$$

Подставляя (3.7) в (3.6), приходим к характеристическому интегральному уравнению:

$$E(k)L(k) + \frac{q}{\pi}\int\limits_0^\infty J_1(k,k_1)E(k_1)dk_1 =$$

$$= -2qU_{sl}T_1(k) + 2(2-q)G_vT_2(k), \tag{3.8}$$

где

$$J_n(k.k_1) = \frac{3}{2}\int\limits_0^1 \frac{t^n(1-t^2)dt}{(1+k^2t^2)(1+k_1^2t^2)}, \quad n = 0, 1, 2, \cdots, \tag{3.9}$$

Уравнение (3.8) есть интегральное уравнение Фредгольма второго рода.

$$T_n(k) = J_n(k,0) = \frac{3}{2}\int\limits_0^1 \frac{t^n(1-t^2)dt}{1+k^2t^2},$$

Нетрудно заметить,что

$$L(k) = 1 - T_0(k) = 1 - \frac{3}{2}\int\limits_0^1 \frac{1-t^2}{1+k^2t^2}dt = k^2T_2(k).$$

Решение уравнения (3.9) будем искать в виде

$$E(k) = 2(2-q)G_v\Big[E_0(k) + q\,E_1(k) + q^2\,E_2(k) + \cdots\Big], \tag{3.10}$$

$$\Phi(k,\mu) = 2(2-q)G_v\Big[\Phi_0(k,\mu) + q\Phi_1(k,\mu) + q^2\Phi_2(k,\mu) + \cdots\Big]. \tag{3.11}$$

Скорость скольжения $U_{sl}(q)$ при этом будем искать в виде

$$U_{sl} = \frac{2-q}{q}G_v\Big[V_0 + V_1q + V_2q^2 + \cdots + V_nq^n + \cdots\Big]. \tag{3.12}$$

Подставим ряды (3.10)–(3.12) в уравнения (3.7) и (3.8). Теперь эти интегральные уравнения распадаются на эквивалентную бесконечную систему уравнений. В нулевом приближении получаем следующую систему уравнений:

$$E_0(k)L(k) = -V_0T_1(k) + T_2(k), \tag{3.13}$$

$$\Phi_0(k,\mu)(1+ik\mu) = E_0(k) + \Big[|\mu| - V_0\Big]|\mu|, \tag{3.14}$$

В первом приближении:

$$E_1(k)L(k) = -V_1T_1(k) - \frac{1}{\pi}\int\limits_0^\infty J(k,k_1)E_0(k_1)dk_1, \tag{3.15}$$

$$\Phi_1(k,\mu)(1+ik\mu)=E_1(k)-V_1|\mu|-\frac{|\mu|}{\pi}\int\limits_0^\infty\frac{E_0(k_1)dk_1}{1+k_1^2\mu^2}. \tag{3.16}$$

Во втором приближении имеем:

$$E_2(k)L(k)=-V_2T_1(k)-\frac{1}{\pi}\int\limits_0^\infty J(k,k_1)E_1(k_1)dk_1, \tag{3.17}$$

$$\Phi_2(k,\mu)(1+ik\mu)=E_2(k)-V_2|\mu|-\frac{|\mu|}{\pi}\int\limits_0^\infty\frac{E_1(k_1)dk_1}{1+k_1^2\mu^2}. \tag{3.18}$$

В n-ом приближении получаем:

$$E_n(k)L(k)=-V_nT_1(k)-\frac{1}{\pi}\int\limits_0^\infty J_1(k,k_1)E_{n-1}(k_1)dk_1, \tag{3.19}$$

$$\Phi_n(k,\mu)(1+ik\mu)=$$

$$=E_n(k)-V_n|\mu|-\frac{|\mu|}{\pi}\int\limits_0^\infty\frac{E_{n-1}(k_1)dk_1}{1+k_1^2\mu^2}.\ n=1,2,\cdots. \tag{3.20}$$

4 Решение задачи

4.1 Нулевое приближение

Из формулы (3.13) для нулевого приближения находим:

$$E_0(k)=\frac{T_2(k)-V_0T_1(k)}{L(k)}. \tag{4.1}$$

Нулевое приближение массовой скорости на основании (4.1) равно:

$$U_c^{(0)}(x)=G_v\frac{2-q}{2\pi}\int\limits_{-\infty}^{\infty}\exp(ikx)E_0(k)\,dk=$$

$$=G_v\frac{2-q}{2\pi}\int\limits_{-\infty}^{\infty}\exp(ikx)\frac{-V_0T_1(k)+T_2(k)}{L(k)}dk. \tag{4.2}$$

Согласно (4.2) наложим на нулевое приближение массовой скорости требование: $U_c(+\infty)=0$. Это условие приводит к тому, что подынтегральное выражение из интеграла Фурье (4.2) в точке $k=0$ конечно. Следовательно, мы должны устранить полюс второго порядка в точке $k=0$ у функции $E_0(k)$. Замечая, что

$$T_2(0)=\frac{3}{2}\int\limits_0^1 t^2(1-t^2)dt=\frac{3}{15}, \qquad T_1(0)=\frac{3}{2}\int\limits_0^1 t(1-t^2)dt=\frac{3}{8},$$

находим нулевое приближение V_0:

$$V_0=\frac{T_2(0)}{T_1(0)}=\frac{8}{15}. \tag{4.3}$$

С помощью (4.3) найдём, опуская вычисления, числитель выражения (4.1):

$$T_2(k)-\frac{8}{15}T_1(k)=k^2\Big(\frac{8}{15}T_3(k)-T_4(k)\Big).$$

Таким образом,

$$T_2(k)-\frac{8}{15}T_1(k)=k^2\varphi_0(k),$$

где

$$\varphi_0(k)=\frac{3}{2}\int\limits_0^1\frac{(1-t^2)t^3(\frac{8}{15}-t)}{1+t^2k^2}dt=\Big(\frac{8}{15}T_3(k)-T_4(k)\Big).$$

Итак, возвращаясь к (4.1), имеем:

$$E_0(k)=\frac{\varphi_0(k)}{T_2(k)}.$$

Согласно (3.5) и (3.14) находим:

$$h_c^{(0)}(x,\mu)=\frac{1}{2\pi}\int\limits_{-\infty}^{\infty}\Big[E_0(k)+|\mu|(|\mu|-V_0)\Big]\frac{\exp(ikx)dk}{1+ik\mu}.$$

4.2 Первое приближение

Перейдем к первому приближению. В первом приближении из уравнения (3.15) находим:

$$E_1(k) = -\frac{1}{L(k)}\Big[V_1 T_1(k) + \frac{1}{\pi}\int\limits_0^\infty \frac{J(k,k_1)}{T_2(k_1)}\varphi_0(k_1)dk_1\Big]. \tag{4.4}$$

Первая поправка к массовой скорости имеет вид

$$U_c^{(1)}(x) = G_v \frac{2-q}{2\pi}\int\limits_{-\infty}^{\infty} \exp(ikx)E_1(k)\,dk.$$

Требование $U_c(+\infty)=0$ приводит к требованию конечности подынтегрального выражения в предыдущем интеграле Фурье. Устраняя полюс второго порядка в точке $k=0$, находим:

$$V_1 = -\frac{1}{T_1(0)\pi}\int\limits_0^\infty T_1(k_1)E_0(k_1)dk_1 = 0.0518. \tag{4.5}$$

Используя соотношение (3.15) и непосредственно проверяемое равенство

$$T_n(k) = T_n(0) - k^2 T_{n+2}(k),$$

находим, что

$$E_1(k) = \frac{1}{T_2(k)\pi}\int\limits_0^\infty S(k,k_1)E_0(k_1)dk_1, \tag{4.6}$$

где

$$S(k,k_1) = k_1^2\Big[\frac{T_3(k)T_3(k_1)}{T_1(0)} - J_5(k,k_1)\Big],$$

или, кратко:

$$E_1(k_1) = \frac{\varphi_1(k_1)}{T_2(k_1)}, \quad \text{где} \quad \varphi_1(k_1) = \frac{1}{\pi}\int\limits_0^1 \frac{S(k_1,k_2)}{T_2(k_2)}\varphi_0(k_2)\,dk_2,$$

или

$$\varphi_1(k_1) = \frac{1}{\pi}\int\limits_0^1 S(k_1,k_2)E_0(k_2)\,dk_2.$$

Теперь подставляя (4.6) в (3.16) находим первое приближение спектральной плотности функции распределения:

$$\Phi_1(k,\mu)=\frac{1}{1+ik\mu}\Big[E_1(k)-V_1|\mu|-\frac{|\mu|}{\pi}\int\limits_0^{\infty}\frac{E_0(k_1)\,dk_1}{1+k_1^2\mu^2}\Big].$$

4.3 Второе приближение

Перейдем ко второму приближению задачи – это уравнения (3.17) и (3.18). Из уравнения (3.17) находим:

$$E_2(k)=-\frac{1}{L(k)}\Big[V_2T_1(k)+\frac{1}{\pi}\int\limits_0^{\infty}J(k,k_1)E_1(k_1)\,dk_1\Big]. \qquad (4.7)$$

Вторая поправка к массовой скорости имеет вид:

$$U_c^{(2)}(x)=G_v\frac{2-q}{2\pi}\int\limits_{-\infty}^{\infty}e^{ikx}E_2(k)\,dk.$$

Условие $U_c(+\infty)=0$ приводит к требованию ограниченности функции $E_2(k)$ в точке $k=0$. Устраняя полюс второго порядка в точке $k=0$ в правой части равенства для $E_2(k)$, находим:

$$V_2=-\frac{1}{T_1(0)\pi}\int\limits_0^{\infty}T_1(k_1)E_1(k_1)dk_1=-0.0031, \qquad (4.8)$$

и, кроме того,

$$E_2(k)=\frac{1}{T_2(k)\pi}\int\limits_0^{\infty}S(k,k_1)E_1(k_1)dk_1. \qquad (4.9)$$

Для второго приближения спектральной плотности функции распределения из уравнения (3.18) получаем:

$$\Phi_2(k,\mu)=\frac{1}{1+ik\mu}\left[E_2(k)-V_2|\mu|-\frac{|\mu|}{\pi}\int\limits_0^{\infty}\frac{E_1(k_1)dk_1}{1+k_1^2\mu^2}\right].$$

4.4 Высшие приближения

В третьем приближении из уравнения (3.19) получаем:

$$E_3(k) = -\frac{1}{L(k)}\Big[V_3T_1(k) + \frac{1}{\pi}\int\limits_0^\infty J(k,k_1)E_2(k_1)dk_1\Big].$$

Как и ранее, устраняя полюс второго порядка в точке $k=0$, получаем:

$$V_3 = -\frac{1}{\pi}\int\limits_0^\infty J(0,k_1)E_2(k_1)dk_1 = -\frac{1}{\pi}\int\limits_0^\infty T_1(k_1)E_2(k_1)dk_1,$$

Проводя аналогичные рассуждения, для n–го приближения согласно (3.19) и (3.20) получаем (при $n=1,2,\cdots$):

$$V_n = -\frac{1}{\pi T_1(0)}\int\limits_0^\infty T_1(k)E_{n-1}(k)\,dk, \quad \text{где} \quad E_n(k) = \frac{\varphi_n(k)}{T_2(k)},$$

$$\Phi_n(k,\mu) = \frac{1}{1+ik\mu}\left[E_n(k) - V_n|\mu| - \frac{|\mu|}{\pi}\int\limits_0^\infty \frac{E_{n-1}(k_1)dk_1}{1+k_1^2\mu^2}\right].$$

5 Сравнение с точным решением и профиль массовой скорости

5.1 Сравнение с точным решением

Таким образом, безразмерная скорость изотермического скольжения нами найдена в виде ряда:

$$U_{sl} = G_v\frac{2-q}{q}[V_0 + V_1q + V_2q^2 + ...].$$

Сравним нулевое, первое и второе приближения при $q = 1$ с точным решением.

$$U_{sl} = G_v \frac{2-q}{q}[V_0 + V_1 q + V_2 q^2 + ... V_n q^n], \qquad n = 0, 1, 2...$$

Точное значение скорости скольжения в случае диффузного рассеяния таково:

$$U_{sl}(1) = 0.5819 G_v.$$

Нетрудно проверить, что в нулевом (максвелловском) приближении

$$U_0^{sl}(1) = 0.533(3) G_v,$$

т.е. нулевое приближение дает ошибку 8.4%.

В первом приближении получаем

$$U_1^{sl}(1) = (V_0 + V_1) G_v = 0.5851 G_v,$$

это значит, что первое приближение дает ошибку 0.5%.

Во втором приближении

$$U_2^{sl}(1) = (V_0 + V_1 + V_2) G_v = 0.5820 G_v,$$

т.е. второе приближение дает ошибку 0.01%.

Переходя, как и ранее, к размерной скорости скольжения, получаем:

$$u_{sl} = \frac{V_1}{\sqrt{\beta}} G_v, \quad \text{где} \quad g_v = \nu_0 G_v.$$

Отсюда имеем:

$$u_{sl} = \frac{V_1}{\sqrt{\beta} l} G_v l = \frac{V_1}{\sqrt{\beta} l \nu_0} g_v l.$$

Выбирая длину свободного пробега согласно Черчиньяни [?], как $l = \dfrac{\eta}{\rho}\sqrt{\pi\beta}$, получаем следующее соотношение:

$$l\sqrt{\beta} = \frac{\eta}{\rho}\sqrt{\pi\beta}\sqrt{\beta} = \frac{8\sqrt{\pi} l_1(\alpha)}{15 \nu_0 l_0(\alpha)}.$$

Возвращаясь к выражению для размерной скорости скольжения, учитывая полученное, приходим к следующему выражению:

$$u_{sl} = \frac{15 V_1 \nu_0 l_0(\alpha)}{8\sqrt{\pi} l_1(\alpha) \nu_0} l g_v.$$

В итоге получаем следующую формулу для размерной скорости скольжения газа

$$u_{sl} = K_v(\alpha, q) l g_v, \tag{5.1}$$

где K_v – коэффициент изотермического скольжения, l – длина свободного пробега,

$$K_v(\alpha, q) = \frac{15 l_0(\alpha)}{8\sqrt{\pi} l_1(\alpha)} \frac{2-q}{2} \Big[V_0 + V_1 q + V_2 q^2 + ... \Big].$$

5.2 Профиль скорости газа в полупространстве и ее значение у стенки

Массовую скорость, отвечающую непрерывному спектру, разложим по степеням коэффициента диффузности:

$$U_c(x) = U_c^{(0)}(x) + q U_c^{(1)}(x) + q^2 U_c^{(2)}(x) + \cdots \, . \tag{5.2}$$

Тогда профиль массовой скорости в полупространстве можно строить по формуле:

$$U(x) = U_{sl}(q) + G_v x + U_c(x),$$

где $U_c(x)$ определяется равенством (5.2).

Коэффициенты ряда (5.2) вычислим согласно выведенным выше формулам:

$$U_c^{(n)}(x) = G_v \frac{2-q}{2\pi} \int\limits_{-\infty}^{\infty} e^{ikx} E_n(k) dk, \qquad n = 0, 1, 2, \cdots \, .$$

Вычислим скорость газа непосредственно у стенки:

$$U(0) = U_{sl}(q) + U_c^{(0)}(0) + q U_c^{(1)}(0) + q^2 U_c^{(2)}(0) + \cdots \, . \tag{5.3}$$

В случае чисто диффузного отражения молекул от стенки ($q = 1$) согласно (5.3) мы имеем

$$U(0) = U_{sl}(1) + U_c^{(0)}(0) + U_c^{(1)}(0) + U_c^{(2)}(0) + \cdots \, .$$

Отсюда в нулевом приближении получаем:

$$U^{(0)} = U_{sl}(1) + U_c^{(0)}(0) = 0.4382G_v.$$

В первом приближении получаем:

$$U^{(1)}(0) = U_{sl}(1) + U_c^{(0)}(0) + U_c^{(1)}(0) = 0.4482G_v,$$

Сравним эти результаты с точным значение скорости у стенки ([20], [18])

$$U(0) = \frac{1}{\sqrt{5}}G_v = 0.4472G_v.$$

Относительная ошибка

$$O_n = \frac{U(0) - U^{(n)}(0)}{U(0)} \cdot 100\%, \qquad n = 0, 1, 2, \cdots,$$

в нулевом приближении равна -2.01%, а уже в первом приближении составляет менее -0.22%.

Аналогично скорости скольжения, получим профиль размерной массовой скорости в полупространстве. Исходя из того, что

$$U_y(x) = V_1G_v + G_vx + G_v\frac{2-q}{2\pi}\int\limits_{-\infty}^{\infty} e^{ikx}E_n(k)dk,$$

или, иначе: $U_y(x) = H(x, \alpha)G_v$, где

$$H(x, \alpha) = V_1 + x + \frac{2-q}{2\pi}\int\limits_{-\infty}^{\infty} e^{ikx}E_n(k)dk,$$

Теперь получаем следующее выражение для размерной массовой скорости газа:

$$u_y(x) = \frac{U_y(x)}{\sqrt{\beta}} = \frac{H(x, \alpha)}{\sqrt{\beta}}G_v(\alpha) = \frac{H(x, \alpha)}{\sqrt{\beta}l}G_v(\alpha)l.$$

Выполняя преобразования, аналогичные тем, которые использовались для получения размерной скорости скольжения, приходим к следующему выражению для размерной массовой скорости:

$$u_y(x) = K_v^*(x, \alpha)lg_v,$$

где

$$K_v^*(x,\alpha)=\frac{15H(x,\alpha)l_0(\alpha)}{8\sqrt{\pi}l_1(\alpha)}.$$

На рисунках 1, 2 и 3 построены профили массовой скорости для различных значений коэффициента диффузности. Отметим, что химический потенциал молекул α принимается равным -5.

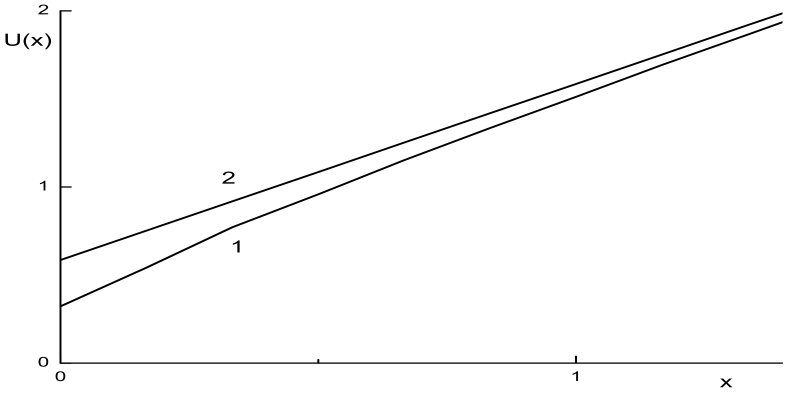

Рис. 1. Профиль массовой скорости в полупространстве, коэффициент диффузности равен: $q=1$, химический потенциал молекул $\alpha=-5$.

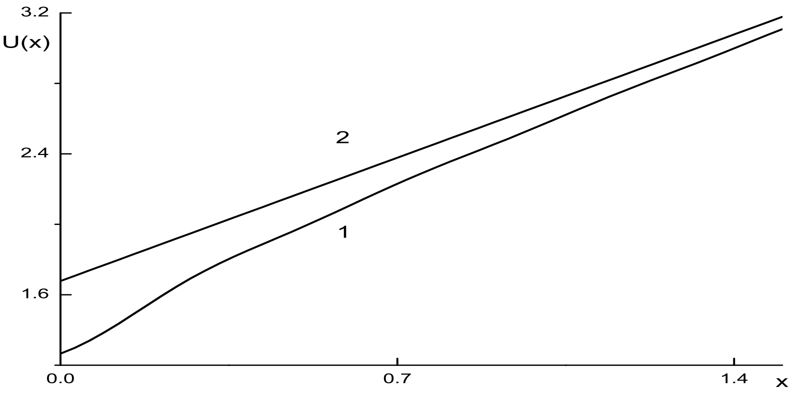

Рис. 2. Профиль массовой скорости в полупространстве, коэффициент диффузности равен: $q=0.5$, химический потенциал молекул $\alpha=-5$.

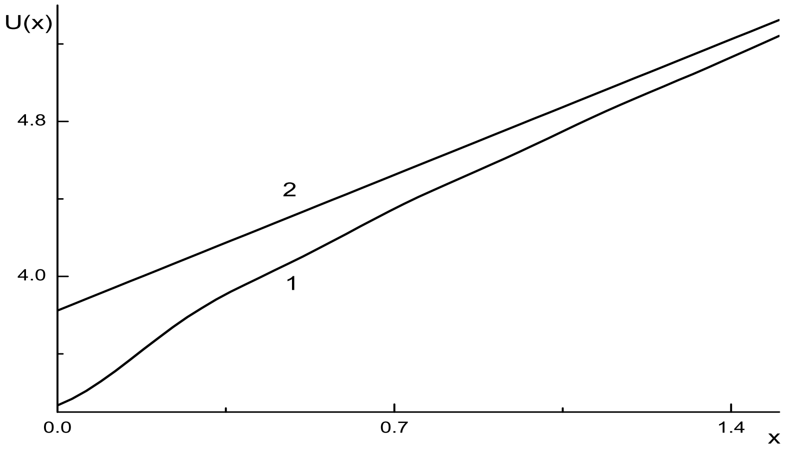

Рис. 3. Профиль массовой скорости в полупространстве, коэффициент диффузности равен: $q = 0.25$, химический потенциал молекул $\alpha = -5$.

Список литературы

[1] *Uehling E.A., Uhlenbeck G.E.* Transport Phenomena in Einstein — Bose and Fermi — Dirac Gases// Physical Review. 1933, April, Vol. 43. P. 552 – 561.

[2] *Levin K., Qijin Chen.* Finite Temperature Effects in Ultracold Fermi Gases // Archiv: cond-mat/0610006.

[3] *Modugno G.* Fermi — Bose mixture with tunable interactions // Archiv: cond-mat/0702277.

[4] *Латышев А.В., Юшканов А.А.* Граничные задачи для квантового ферми – газа// Теор. и матем. физика. 2001. Т. 129. № 3. С. 491–502.

[5] *Латышев А.В., Юшканов А.А.* Граничные задачи для квантового бозе – газа// Известия вузов. Сер. Физика. 2002. № 6. С. 51–56.

[6] *Латышев А.В., Юшканов А.А.* Моделирование кинетических процессов в квантовых бозе – газах и аналитическое решение граничных задач// Матем. моделирование. 2003. №5. С. 80–94.

[7] *Латышев А.В., Юшканов А.А.* Кинетическое уравнение для квантовых ферми – газов и аналитическое решение граничных задач// Теор. м матем. физика. Т. 134. № 2, февраль, 2003. С. 310–324.

[8] *Kvashnin A.Yu.,Latyshev A.V., Yushkanov A.A.* Isothermal slip of a Fermi gas with specular-diffuse reflection from the boundary// Russian Physics Journal. Springer New York. Volume 52, Number 12 / Декабрь 2009 г., С. 1251-1257.

[9] *Квашнин А.Ю., Латышев А.В., Юшканов А.А.* Задача Крамерса в квантовых ферми – газах с частотой столкновений, пропорциональной модулю скорости молекул. //Труды ин–та Системного анализа РАН "Динамика линейных и нелинейных систем". 2006. Том 25 (2). С. 69 – 73.

[10] *Квашнин А.Ю., Латышев А.В., Юшканов А.А.* Задача Крамерса в квантовых бозе – газах с частотой столкновений, пропорциональной модулю скорости молекул// Сб. тр. "Фундаментальные физико – математические проблемы ...". Изд–во МГТУ "Станкин"2008. Вып. 11. С. 74 – 79.

[11] *Квашнин А.Ю., Латышев А.В., Юшканов А.А.* Задача Крамерса для ферми – газа с зеркально-диффузным граничным условием. //Труды ин–та Системного анализа РАН "Динамика неоднородных систем". 2008. Том 32(3). С. 101– 105.

[12] *Квашнин А.Ю., Латышев А.В., Юшканов А.А.* Изотермическое скольжение ферми-газа с зеркально-диффузным отражением от границы // Известия высших учебных заведений. Физика. 2009. Т. 52. № 12. С. 3–7.

[13] *Квашнин А.Ю.* Изотерическое скольжение квантового бозе-газа с диффузным отражением от границы// Вестник Московского государственного областного университа. Серия "Физика-математика". 2009. №3. С. 14–25.

[14] *Квашнин А.Ю., Латышев А.В., Юшканов А.А.* Изотерическое скольжение квантового бозе-газа с зеркально-диффузным отражением от границы // Физика низких температур, 2010. Т. 36, N 4. С. 413-417.

[15] *Костиков А.А, Латышев А.В., Юшканов А.А.* Задача Крамерса с аккомодационными граничными условиями для квантовых ферми – газов// Физика низких температур. 2008. № 34 С. 914-941.

[16] *Kvashnin A.Yu, Latyshev A.V. and Yushkanov A.A.* The Kramers Problem for Quantum Fermi Gases with Velocity–Dependent Collision Frequency and Diffusive Boundary Conditions//arXiv: 1201.0840v1 [math-ph] 4 Jan 2012, 49 pp.

[17] *Ферцигер Дж., Капер Г.* Математическая теория процессов переноса в газах.// М.: Мир, 1976.

[18] *Латышев А.В., Юшканов А.А.* Кинетические уравнения типа Вильямса и их точные решения. Монография. – М.: Изд–во МГОУ. 2004. 271 с.

[19] *Черчиньяни К.* Математические методы в кинетической теории газов. //М. : Мир, 1973.

[20] *Черчиньяни К.* Теория и приложения уравнения Больцмана.// М.: Мир, 1978.

[21] *Латышев А.В., Юшканов А.А.* Аналитическое решение задач скольжения бинарного газа// Теор. и матем. физика. 1991. Т. 86. №3 (март). С. 402 – 419.

[22] *Латышев А.В., Юшканов А.А.* Теория и точные решения задач скольжения бинарного газа вдоль плоской поверхности// Ж. выч. матем. и матем. физ. 1991. Т.31. № 8. С. 1201–1210.

[23] *Латышев А.В., Юшканов А.А.* Уравнения свертки в задаче о диффузионном скольжении бинарного газа с аккомодацией// Поверхность. Рентгеновские, синхротронные и нейтронные исследования. 1991. № 1. С. 31–37.

[24] *Латышев А.В., Юшканов А.А.* Тепловое и изотермическое скольжение в новом модельном кинетическом уравнении Лиу// Письма в журнал техн. физики. 1997. Т. 23. № 14. С. 13 – 16.

[25] *Латышев А.В., Юшканов А.А.* Аналитическое решение задачи о скольжении газа с использованием модельного уравнения Больцмана с частотой, пропорциональной скорости молекул// Поверхность. Рентгеновские, синхротронные и нейтронные исследования. 1997. № 1. С. 92 – 99.

[26] *Латышев А.В., Юшканов А.А.* Тепловое скольжение для газа с частотой столкновений, пропорциональной скорости молекул// Инженерно – физический журнал. 1998. Т. 71. № 2. Март – Апрель. С. 353 – 359.

[27] *Латышев А.В., Юшканов А.А.* Аналитическое решение задач скольжения с использованием нового кинетического уравнения// Письма в ЖТФ. 2000. Т. 26, вып. 23. С. 16–23.

[28] *Латышев А.В., Юшканов А.А.* Аккомодационные двухмоментные граничные условия в задачах о тепловом и изотермическом скольжениях// Инженерно – физический журнал. 2001. Т. 74. № 3. С. 63–69.

[29] *Латышев А.В., Юшканов А.А.* Влияние свойств поверхности на скольжение газа с переменной частотой столкновений молекул// Поверхность. Рентгеновские, синхротронные и нейтронные исследования. 2001. № 7. С. 79–87.

[30] *Латышев А.В., Юшканов А.А.* Моментные граничные условия в задачах скольжения разреженного газа// Изв. РАН. Сер. МЖГ. 2004. № 2. С. 193–208.

[31] *Латышев А.В., Юшканов А.А.* Метод решения граничных задач для кинетических уравнений// Ж. выч. матем. и матем. физики. 2004. Т. 44. № 6. с. 1107–1118.

[32] *Латышев А.В., Юшканов А.А.* Аналитическое решение граничных задач кинетической теории. Монография. М.: Изд–во МГОУ. 2004. 286 с.

[33] *Латышев А.В., Юшканов А.А.* Метод сингулярных интегральных уравнений в граничных задачах кинетической теории// Теор. и матем. физика. 2005. Т. 143(4). № 3. 855–870. (437–454).

[34] *Cercignani C.* Elementary solutions of the linearized gas – dynamics Boltzmann equation and their applications to the slip – flow problem// Ann. Phys.(USA) 1962. V. 20. №2. P. 219–233.

[35] *Cercignani C.* The method of elementary solutions for kinetic models with velocity-dependent collision frequency// Ann. Phys. 1966. V. 40. P. 469–481.

[36] *Cercignani C.* The Kramers problem for a not completely diffusing wall// J. Math. Phys. Appl. 1965. V.10. P. 568–586.

[37] *Cercignani C., Foresti P., Sernagiotto F.* Dependence of the slip coefficient on the form of the collision frequency// Part 2. Nuovo Cimento. 1968. V. LV11. B. No.2. P. 297–306.

[38] *Cercignani C., Lampis M.* Kinetic model for gas–surface interaction// Transport Theory and Statist. Physics. 1971. V.1. P. 101–109.

[39] *Frisch H.* Analytic solution of the velocity – slip and diffusion – slip problems by a Cauchy integral method// Transport Theory and Statist. Physics. 1988. V. 11. №2. P. 615–633.

[40] *Pao Y.–P.* Some boundary value problems in the kinetic theory of gases// Phys. Fluids. V. 14. №11. 1971. P. 2285–2290.

[41] *Williams M. M. R.* Boundary–value problems in the kinetic theory of gases. Part 1. Slip flows// J. Fluid. Mech. 1969. V. 36. Pt.1. P. 145–159.

[42] *Siewert C.E.* Kramers' problem for a variable collision frequency model// Eur. J. Appl. Math. 2000. V. 12. C. 179 – 189.

[43] *Loyalka S.K.* Approximative method in the kinetic theory// Phys. Fluids. 1971. V. 14. №11. P. 2291–2294.

[44] *Siewert C.E., Sharipov F.* Model equations in rarefied gas dynamics: Viscous–slip and thermal–slip coefficiens// Phys. Fluids. 2002. V. 14. №12. P. 4123–4129.

[45] *Латышев А.В., Юшканов А.А.* Temperature jump in degenerate quantum gases in the presence of a Bose — Einstein condensate. Theor. and Mathem. Phys. V. 162(1), 95–105 (2010).

[46] *Латышев А.В., Юшканов А.А.* Temperature jump in degenerate quantum gases with the Bogoliubov exictation energy and in the presence of the Bose — Einstein condensate// Theoretical and Mathematical Physics, **165**(1): 1359–1371 (2010).

[47] *Латышев А.В., Юшканов А.А.* Новый метод решения граничных задач кинетической теории// Ж. вычисл. матем. и матем. физики, 2012, том 52, №3, с. 1–14.